

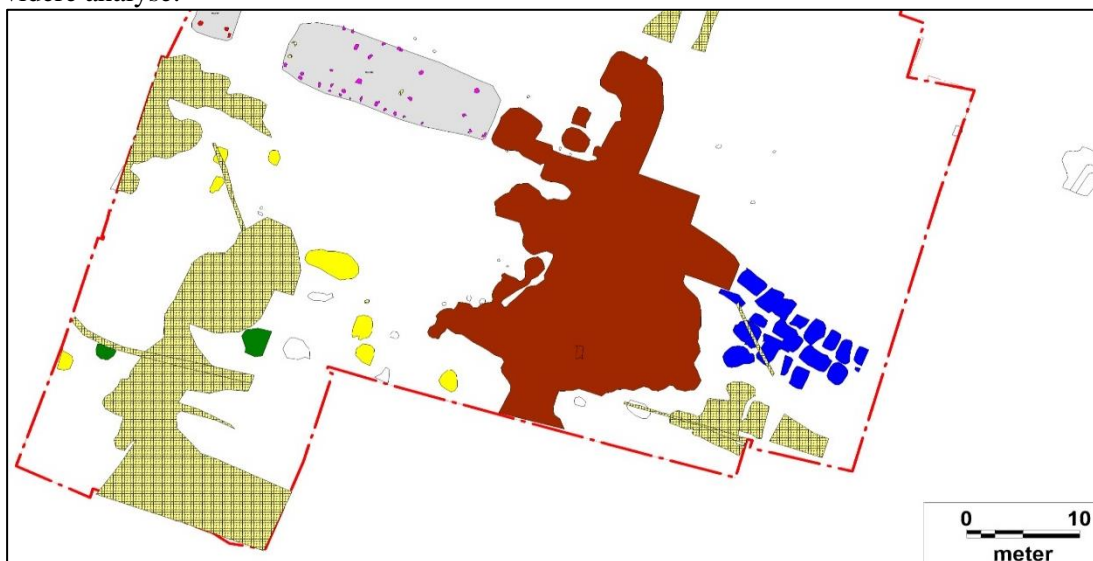
# HEM 5376 Brændgårdvej, Herning Sogn.

## NATURVIDENSKABELIGE UNDERSØGELSER

Den naturvidenskabelige analyser fra lokaliteten HEM 5376 Brændgårdvej har to fokuspunkter: datering af bebyggelsen gennem C14-datering af fem huse og en jernovn samt arkæobotanisk gennemsyn af materiale fra produktionsanlæg, som muligvis tilhører en gårdstomt fra renæssancen, med henblik på at belyse anlæggenes funktion.

### Arkæobotanisk gennemsyn

Det kursoriske gennemsyn af prøvematerialet fra de mulige renæssanceanlæg (se figur 1) viste, at prøverne indeholdt en del uforkullede frø og grene/kviste, der blev tolket som tilhørende anlæggenes tidsperiode. Det blev dog vurderet, at materialet ikke afspejler anlæggenes funktion men snarere det umiddelbare nærområde. Sammensætningen af frøene er typiske for forhistoriske prøver, men kan også optræde i prøver fra middelalderen eller historisk tid. Der er således intet i prøverne, der kan bruges til at belyse anlæggenes funktion eller umiddelbare alder, og de blev derfor ikke indstillet til videre analyse.

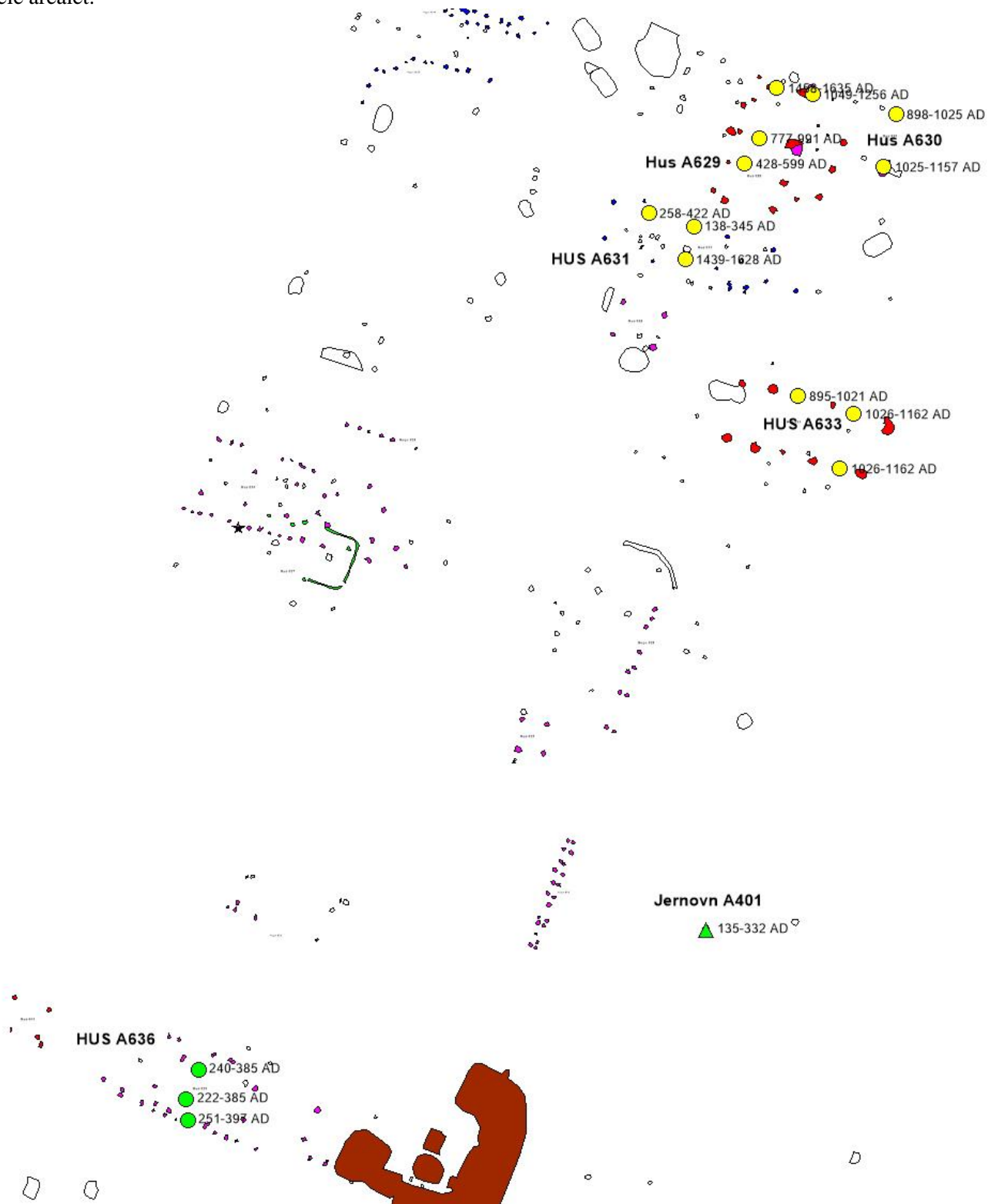


Figur 1: Oversigt over den sydlige del af udgravningsområdet. Nedgravninger fra den mulige renæssancegårdstomt er markeret med rødbrunt og produktionsanlæggene med blå.

### Datering af bebyggelsen

Sporene efter huskonstruktionerne var generelt dårligt bevaret, hvilket i nogle tilfælde gjorde en typologisk husdatering vanskelig. Derfor blev fem huskonstruktioner med egnet prøvemateriale udvalgt til C14-datering med tre prøver per hus. Hertil kommer en enlig liggende slaggegrubeovn (se figur 2, se bilag 1). Dateringerne fra hus A631 (prøve x57-59), hus A636 (prøve x17-18, x47) og jernovn A401 (prøve x13) falder i yngre romertid/tidlig ældre germanertid. En sådan datering var forventet for hus A631 men ikke for hus A636, der var vurderet yngre på baggrund af hustypologi. Endvidere blev det klarlagt, at jernudvindingsovnen hører til denne fase af bebyggelsen. Hus A633 er hustypologisk placeret i tidlig middelalder, hvilket understøttes af de tre C14-dateringer (prøve x4-6). Hus A630 er kun erkendt gennem fire større tagbærende stolpehuller og derfor vanskelig at placere typologisk, men er sat til vikingetid/tidlig middelalder, hvilket bekræftes af C14-dateringerne (prøve x63, x70-71). To af stolpehullerne skæres af stolpehuller fra hus A629, som dermed er startigrafisk yngre. Hus A629 er toktet som et N-S-orienteret treskibet langhus med meget bredt midterskib med en hustypologisk datering til sen vikingetid/tidlig middelalder. De tre C14-dateringer, der stammer fra stolpehuller som er udskilt til dette hus (prøve x52, x65-66), falder dog i henholdsvis ældre germanertid, vikingetid og sen middelalder/renæssancen. Det udelukker ikke, at huset skal tilskrives vikingetid/tidlig middelalder, men viser, at der både er henholdsvis ældre og yngre materiale/anlæg i dette område. Det ældre indslag er måske ikke så overraskende, set i lyset af, at hus A631, der ligger umiddelbart syd herfor. Renæssancedateringen var derimod uventet og sammen med en tilsvarende datering fra et stolpehul i romertidshuset A631 antyder det, at der kan være en yngre

bebyggelsesfase i denne del af udgravningsområdet, der ikke kunne erkendes arkæologisk. Set i lyset af gårdstomten og de mulige produktionsanlæg fra renæssancen beliggende på den sydlige del af arealet er det måske ikke så overraskende, at der kan være anlæg og materiale fra denne periode på hele arealet.



Figur 2. Oversigtsplan med C14-dateringer (2 sigma). Grønne prikker repræsenterer prøver med korn mens gule prøver er trækul.

Museumsinspektør  
 Lone Ritchie Andersen  
 Herning d. 10. september 2020

## **Bilag 1: Results of calibration of 14C dates.**

Given are intervals of calendar age, where the true ages of the samples encompass with the probability of ca. 68% and ca. 95%. The calibration was made with the OxCal software.

OxCal v4.3.2 Bronk Ramsey (2017); r:5

IntCal13 atmospheric curve (Reimer et al 2013)

HEM 5673 X4 R\_Date(935,30)

68.2% probability

1039AD (10.6%) 1053AD

1080AD (57.6%) 1152AD

95.4% probability

1026AD (95.4%) 1162AD

HEM 5673 X5 R\_Date(1070,30)

68.2% probability

905AD ( 9.4%) 916AD

968AD (58.8%) 1016AD

95.4% probability

895AD (20.9%) 928AD

940AD (74.5%) 1021AD

HEM 5673 X6 R\_Date(935,30)

68.2% probability

1039AD (10.6%) 1053AD

1080AD (57.6%) 1152AD

95.4% probability

1026AD (95.4%) 1162AD

HEM 5673 X13 R\_Date(1785,30)

68.2% probability

178AD ( 4.5%) 189AD

213AD (35.0%) 260AD

279AD (28.7%) 326AD

95.4% probability

135AD (62.5%) 265AD

271AD (32.9%) 332AD

HEM 5673 X17 R\_Date(1735,30)

68.2% probability

252AD (68.2%) 342AD

95.4% probability

240AD (95.4%) 385AD

HEM 5673 X18 R\_Date(1750,30)

68.2% probability

245AD (16.4%) 265AD

271AD (51.8%) 332AD

95.4% probability

222AD (95.4%) 385AD

HEM 5673 X47 R\_Date(1710,30)

68.2% probability

260AD (15.5%) 280AD

325AD (52.7%) 386AD

95.4% probability

251AD (95.4%) 397AD

HEM 5673 X52 R\_Date(1530,30)

68.2% probability

433AD (16.4%) 460AD

467AD (14.5%) 489AD

533AD (37.3%) 577AD

95.4% probability

428AD (95.4%) 599AD

HEM 5673 X57 R\_Date(1680,30)

68.2% probability

339AD (68.2%) 401AD

95.4% probability

258AD (10.2%) 296AD

321AD (85.2%) 422AD

HEM 5673 X58 R\_Date(395,30)

68.2% probability

1445AD (56.6%) 1495AD

1601AD (11.6%) 1616AD

95.4% probability

1439AD (73.0%) 1523AD

1573AD (22.4%) 1628AD

HEM 5673 X59 R\_Date(1770,30)

68.2% probability

230AD (25.9%) 264AD

275AD (42.3%) 330AD

95.4% probability

138AD (95.4%) 345AD

HEM 5673 X63 R\_Date(945,30)

68.2% probability

1032AD (15.4%) 1051AD

1082AD (38.8%) 1128AD

1134AD (14.0%) 1151AD

95.4% probability

1025AD (95.4%) 1157AD

HEM 5673 X65 R\_Date(350,30)

68.2% probability

1481AD (29.4%) 1523AD

1572AD (38.8%) 1630AD

95.4% probability

1458AD (41.3%) 1531AD

1539AD (54.1%) 1635AD

HEM 5673 X66 R\_Date(1125,30)

68.2% probability

891AD (68.2%) 970AD

95.4% probability

777AD ( 2.4%) 791AD

807AD ( 1.2%) 819AD

825AD ( 2.1%) 842AD

862AD (89.7%) 991AD

HEM 5673 X70 R\_Date(860,30)

68.2% probability

1159AD (68.2%) 1219AD

95.4% probability

1049AD ( 9.9%) 1084AD

1125AD ( 2.0%) 1136AD

1150AD (83.5%) 1256AD

HEM 5673 X71 R\_Date(1055,30)

68.2% probability

973AD (68.2%) 1020AD

95.4% probability

898AD (11.5%) 924AD

944AD (83.9%) 1025AD

OxCal v4.3.2 Bronk Ramsey (2017); r:5 IntCal13 atmospheric curve (Reimer et al 2013)

